

ЛИТЕРАТУРА

1. Лурье А. И. Нелинейная теория упругости.— М.: Наука, 1980.
2. Галин Л. А. Упругопластические задачи.— М.: Наука, 1984.
3. Аннин Б. Д., Черепанов Г. П. Упругопластическая задача.— Новосибирск: Наука, 1983.
4. Качанов Л. М. Основы теории пластичности.— М.: Наука, 1969.
5. Мухелишвили Н. И. Некоторые основные задачи математической теории упругости.— М.: Наука, 1966.
6. Доборджинидзе Л. Г. Комплексное представление смещений и напряжений для нелинейно-упругого материала гармонического типа // Тр. Тбп. мат. ин-та, 1979.— Т. 61.
7. Мухелишвили Н. И. Сингулярные интегральные уравнения.— М.: Наука, 1968.

г. Тбилиси

Поступила 3/IV 1987 г.,
в окончательном варианте —
18/II 1988 г.

УДК 624.074.4:539.1

Л. П. Железнов, В. В. Кабанов

АЛГОРИТМ ИССЛЕДОВАНИЯ НЕЛИНЕЙНОГО ДЕФОРМИРОВАНИЯ И УСТОЙЧИВОСТИ КРУГОВЫХ ЦИЛИНДРИЧЕСКИХ ОБОЛОЧЕК С НАЧАЛЬНЫМИ НЕСОВЕРШЕНСТВАМИ ФОРМЫ

В большинстве известных решений задач устойчивости оболочек с начальными прогибами рассматривались осесимметричные прогибы. В некоторых работах изучалось влияние неосесимметричных прогибов. Решения получены или в классической постановке без учета моментности исходного напряженного состояния, или в предположении развития без перестройки начальных прогибов в процессе нелинейного деформирования при действии осесимметричных нагрузок.

Ниже найдено достаточно общее решение задачи без ограничений на нагрузку и форму начальных и бифуркационных прогибов. Использован метод конечных элементов в перемещениях. Конечный элемент выбран в виде прямоугольника естественной кривизны, функции формы которого учитывают его смещение как твердого тела.

Рассмотрим круговую цилиндрическую оболочку длины L , радиуса R , толщины h . Начальные несовершенства формы задаются либо рядом $w^0 = \sum_{i=1}^N \sum_{j=1}^M w_{ij} \cos i\varphi \cos j\pi x/L$, либо двумерным массивом узловых значений начального прогиба и его производных $\bar{w}^0 = \{w_1, w_{\xi_1}, w_{\varphi_1}, \dots, w_k, w_{\xi_k}, w_{\varphi_k}, \dots, w_{\varphi_n}\}$. Здесь x, φ — продольная и угловая координаты; N, M — число членов ряда Фурье в разложении начального прогиба w^0 ; n — число узлов расчетной конечно-элементной сетки; $\xi = x/R$, w_{ij} — амплитуды начального прогиба; ξ, φ в индексах означают дифференцирование.

На конечном элементе начальные прогибы аппроксимируются бикубическим полиномом, неизвестные коэффициенты которого выражаются через узловые значения начального прогиба и его производных. Оболочка нагружена произвольной системой поверхностных нагрузок $q_i(x, y)$, погонных контурных сил $P_{ki}(x, y)$ и моментов $M_{ki}(x, y)$, локальных сил P_{li} и моментов M_{li} , $i = 1, 2, 3$ соответствует направлениям осей x, y, z .

1. Конечный элемент оболочки. Используя решение [1], запишем выражения для перемещений конечного элемента

$$\begin{aligned}
 u &= \alpha_1 \xi \eta + \alpha_2 \xi + \alpha_3 \eta + \alpha_4 - \alpha_6 s - \alpha_{20} c, \\
 v &= \alpha_5 \xi \eta + \alpha_6 \xi c + \alpha_7 \eta + \alpha_8 - \alpha_{20} \xi s + \alpha_{23} c - \alpha_{24} s, \\
 w &= \alpha_9 \xi^3 \eta^3 + \alpha_{10} \xi^3 \eta^2 + \alpha_{11} \xi^3 \eta + \alpha_{12} \xi^3 + \alpha_{13} \xi^2 \eta^3 + \alpha_{14} \xi^2 \eta^2 + \\
 &+ \alpha_{15} \xi^2 \eta + \alpha_{16} \xi^2 + \alpha_{17} \xi \eta^3 + \alpha_{18} \xi \eta^2 + \alpha_{19} \xi \eta + \alpha_{20} \xi c + \alpha_{21} \eta^3 + \\
 &+ \alpha_{22} \eta^2 + \alpha_{23} s + \alpha_{24} c + \alpha_6 \xi s, \quad \xi = k_2 x, \quad \eta = k_2 y, \\
 c &= \cos \varphi, \quad s = \sin \varphi, \quad u = k_2 u', \quad v = k_2 v', \quad w = k_2 w', \quad k_2 = R^{-1}.
 \end{aligned}$$

перемещений $\delta\Pi = 0$. Запишем вариацию потенциальной энергии оболочки

$$(2.1) \quad \delta\Pi = \sum_{i=1}^{mn} (\delta W_i - \delta A_i) = \sum_{i=1}^{mn} \left(\int_s \mathbf{T}^T \delta \boldsymbol{\varepsilon} ds - \delta A_i \right) = 0;$$

$$(2.2) \quad \delta A_i = \int_s \mathbf{q}^T \delta \mathbf{u} ds + \int_l \mathbf{R}_K^T \delta \mathbf{u}_K dl + \mathbf{R}_\Pi^T \delta \bar{\mathbf{u}}_\Pi.$$

Подставляя (1.1) в (2.1), имеем

$$(2.3) \quad \sum_{i=1}^{mn} \left(\int_s \mathbf{T}^T (\delta \boldsymbol{\varepsilon}_l + \delta \boldsymbol{\varepsilon}_0 + \delta \boldsymbol{\varepsilon}_n) ds - \int_s \mathbf{q}^T \delta \mathbf{u} ds - \int_l \mathbf{R}_K^T \delta \mathbf{u}_K dl - \mathbf{R}_\Pi^T \delta \bar{\mathbf{u}}_\Pi \right) = 0.$$

Представляя $\boldsymbol{\varepsilon}_n$ и $\boldsymbol{\varepsilon}_0$ в виде

$$(2.4) \quad \boldsymbol{\varepsilon}_n = \frac{1}{2} \bar{\mathbf{B}} \bar{\boldsymbol{\varepsilon}}, \quad \delta \boldsymbol{\varepsilon}_n = \bar{\mathbf{B}} \delta \bar{\boldsymbol{\varepsilon}}, \quad \boldsymbol{\varepsilon}_0 = \bar{\mathbf{B}}^0 \bar{\boldsymbol{\varepsilon}}, \quad \delta \boldsymbol{\varepsilon}_0 = \bar{\mathbf{B}}^0 \delta \bar{\boldsymbol{\varepsilon}},$$

где

$$\bar{\mathbf{B}}^T = \begin{vmatrix} w_\xi & 0 & w_\eta \\ 0 & w_\eta & w_\xi \end{vmatrix}; \quad \bar{\mathbf{B}}^{0T} = \begin{vmatrix} w_\xi^0 & 0 & w_\eta^0 \\ 0 & w_\eta^0 & w_\xi^0 \end{vmatrix}; \quad \bar{\boldsymbol{\varepsilon}} = \{w_\xi, w_\eta\};$$

$$\bar{\boldsymbol{\varepsilon}} = \mathbf{P}^* \mathbf{B}^{-1} \bar{\mathbf{u}}; \quad p_{1j}^* = (p_{3j})_\xi; \quad p_{2j}^* = (p_{3j})_\eta - (p_{2j}) \quad (j = 1, \dots, 24);$$

p_{ij}^* — элементы матрицы \mathbf{P}^* ; p_{ij} — элементы матрицы \mathbf{P} , с учетом (1.1), (1.2) запишем (2.3) как

$$\sum_{i=1}^{mn} ((\mathbf{K}_u + \mathbf{K}_1 + \mathbf{K}_1^T + \mathbf{K}_2 + 2\mathbf{K}_2^T + \mathbf{K}_3) \bar{\mathbf{u}} - \mathbf{Q} - \mathbf{Q}_K - \mathbf{Q}_\Pi) = 0.$$

Здесь

$$\mathbf{K}_u = (\mathbf{B}^{-1})^T \int_s \mathbf{P}^T \mathbf{A}_l^T \mathbf{D} \mathbf{A}_l \mathbf{P} ds \mathbf{B}^{-1}; \quad \mathbf{Q} = \int_s \mathbf{q}^T \mathbf{P} ds \mathbf{B}^{-1};$$

$$\mathbf{K}_1 = (\mathbf{B}^{-1})^T \int_s \mathbf{P}^T \bar{\mathbf{A}}_l^T \mathbf{D}^* \bar{\mathbf{B}} \mathbf{P}^* ds \mathbf{B}^{-1}; \quad \mathbf{Q}_K = \int_l \mathbf{R}_K^T \mathbf{P}_K dl \mathbf{B}^{-1};$$

$$\mathbf{K}_2 = \frac{1}{2} (\mathbf{B}^{-1})^T \int_s \mathbf{P}^T \bar{\mathbf{A}}_l^T \mathbf{D}^* \bar{\mathbf{B}} \mathbf{P}^* ds \mathbf{B}^{-1}; \quad \mathbf{Q}_\Pi = \mathbf{R}_\Pi;$$

$$\mathbf{K}_3 = (\mathbf{B}^{-1})^T \int_s \int (\mathbf{P}^*)^T [\bar{\mathbf{T}}] \mathbf{P}^* ds \mathbf{B}^{-1}; \quad [\bar{\mathbf{T}}] = (\bar{\mathbf{B}}^0)^T \mathbf{D}^* \bar{\mathbf{B}}^0 +$$

$$+ (\bar{\mathbf{B}}^0)^T \mathbf{D}^* \bar{\mathbf{B}} + (1/2) \bar{\mathbf{B}}^T \mathbf{D}^* \bar{\mathbf{B}}^0 + (1/2) \bar{\mathbf{B}}^T \mathbf{D}^* \bar{\mathbf{B}};$$

$$\bar{\mathbf{A}}_l^T = \begin{vmatrix} ()_\xi & 0 & ()_\eta \\ 0 & ()_\eta & ()_\xi \\ 0 & () & 0 \end{vmatrix}; \quad \mathbf{D}^* = \begin{vmatrix} B_{11} & B_{12} & 0 \\ B_{12} & B_{11} & 0 \\ 0 & 0 & B_{33} \end{vmatrix};$$

$$(p_K)_{1j} = p_{1j}; \quad (p_K)_{2j} = p_{2j}; \quad (p_K)_{3j} = p_{3j}; \quad (p_K)_{4j} = (p_{3j})_\xi;$$

$$(p_K)_{5j} = -p_{2j} + (p_{3j})_\eta; \quad (p_K)_{6j} = (p_{3j})_\xi \eta \quad (j = 1, \dots, 24);$$

$(p_K)_{ij}$, p_{ij} — элементы матриц \mathbf{P}_K и \mathbf{P} соответственно. Учитывая условия совместности перемещений согласно [2] и граничные условия, находим систему нелинейных алгебраических уравнений равновесия оболочки

$$(2.5) \quad \psi(\mathbf{u}) = \bar{\mathbf{K}} \mathbf{u} - \bar{\mathbf{Q}} = 0,$$

где $\bar{\mathbf{K}}$ (матрица жесткости оболочки ленточной структуры) получается суммированием элементов матрицы $(\mathbf{K}_u + \mathbf{K}_1 + \mathbf{K}_1^T + \mathbf{K}_2 + 2\mathbf{K}_2^T + \mathbf{K}_3)$ с использованием матрицы индексов [3]; $\bar{\mathbf{Q}}$ (вектор обобщенных узловых сил оболочки) определяется суммированием элементов вектора $(\mathbf{Q} + \mathbf{Q}_K + \mathbf{Q}_\Pi)$ с использованием матрицы индексов; \mathbf{u} — вектор узловых перемещений оболочки.

3. Алгоритм решения уравнений равновесия оболочки. Для решения системы (2.5) воспользуемся методом Ньютона — Канторовича [3]:

$$(3.1) \quad \frac{\partial \psi(\mathbf{u}^n)}{\partial \mathbf{u}^n} \Delta = -\psi(\mathbf{u}^n)$$

(Δ — вектор приращений узловых перемещений). Производная $\partial \psi(\mathbf{u}^n)/\partial \mathbf{u}^n$ есть матрица вторых производных потенциальной энергии оболочки и находится из второй вариации потенциальной энергии в виде

$$(3.2) \quad \frac{\partial \psi(\mathbf{u}^n)}{\partial \mathbf{u}^n} = \delta^2 W = \sum_{i=1}^{mn} \iint (\delta \mathbf{T}^T \delta \boldsymbol{\varepsilon} + \mathbf{T}^T \delta^2 \boldsymbol{\varepsilon}) ds.$$

Используя связь $\delta^2 \boldsymbol{\varepsilon} = \delta^2 \boldsymbol{\varepsilon}_n = \delta \bar{\mathbf{V}} \delta \bar{\boldsymbol{\varepsilon}}$, $\mathbf{T}^T \delta^2 \boldsymbol{\varepsilon} = \delta \bar{\boldsymbol{\varepsilon}}^T \mathbf{T}^* \delta \bar{\boldsymbol{\varepsilon}}$, где

$$\mathbf{T}^* = \begin{vmatrix} T_1 & T_3 \\ T_2 & T_2 \end{vmatrix},$$

с учетом (1.2), (2.4) имеем

$$(3.3) \quad \delta^2 W = \sum_{i=1}^{mn} (\mathbf{K}_u + \mathbf{K}_4 + \mathbf{K}_4^T + \mathbf{K}_5).$$

Здесь $\mathbf{K}_4 = (\mathbf{B}^{-1})^T \int_s \mathbf{P}^T \bar{\mathbf{A}}_i^T \mathbf{C} \mathbf{P}^* ds \mathbf{B}^{-1}$; $\mathbf{K}_5 = (\mathbf{B}^{-1})^T \int_s (\mathbf{P}^*)^T \mathbf{T}^* \mathbf{P}^* ds \mathbf{B}^{-1}$;

$$\mathbf{T}^* = (\bar{\mathbf{V}}^0)^T \mathbf{D}^* \bar{\mathbf{V}}^0 + (\bar{\mathbf{V}}^0)^T \mathbf{D}^* \bar{\mathbf{V}} + \bar{\mathbf{V}}^T \mathbf{D}^* (\bar{\mathbf{V}}^0) + \bar{\mathbf{V}}^T \mathbf{D}^* \bar{\mathbf{V}} + \mathbf{T}^*;$$

$$\mathbf{C} = \mathbf{D}^* \bar{\mathbf{V}}^0 + \mathbf{D}^* \bar{\mathbf{V}}.$$

Подставляя (3.2) в (3.1), с учетом (2.5), (3.3), граничных условий и условий совместности [2] получаем

$$(3.4) \quad \bar{\mathbf{H}} \Delta = \bar{\mathbf{Q}} - \bar{\mathbf{K}}(\mathbf{u})^n$$

($\bar{\mathbf{H}}$ — гессиан системы ленточной структуры, который определяется суммированием элементов матрицы $\mathbf{H} = \mathbf{K}_u + \mathbf{K}_4 + \mathbf{K}_4^T + \mathbf{K}_5$).

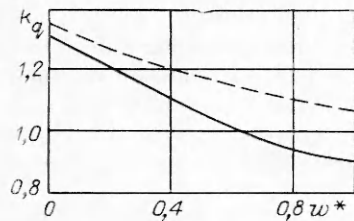
Дополняя (3.2) уравнением

$$(3.5) \quad (\mathbf{u})^{n+1} = (\mathbf{u})^n + \Delta,$$

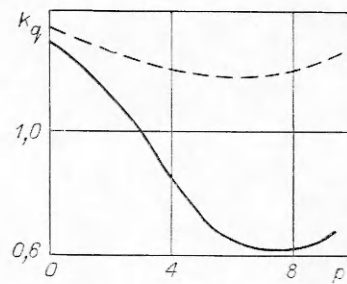
отыскиваем решение системы нелинейных алгебраических уравнений равновесия следующим способом. Задается небольшое значение параметра нагрузки. За нулевое приближение берется решение линейной задачи. Выполняется итерационный процесс по схеме (3.4), (3.5), в котором $\bar{\mathbf{H}}$ насчитывается один раз после первой итерации и не изменяется на других итерациях. Далее нагрузка увеличивается, за нулевое приближение берется решение с предыдущего уровня нагрузки. Выполняется итерационный процесс. На каждой итерации система линейных алгебраических уравнений решается методом Краута с использованием разложения $\bar{\mathbf{H}} = \mathbf{L}^T \mathbf{D} \mathbf{L}$ [4]. Решив систему (2.5), найдем все компоненты нелинейного исходного напряженно-деформированного состояния.

4. Устойчивость оболочки. Для оценки устойчивости исходного состояния оболочки возьмем энергетический критерий устойчивости, согласно которому равновесное состояние устойчиво, если $\delta^2 \Pi > 0$, и неустойчиво, если $\delta^2 \Pi < 0$. Отсюда вытекает, что для устойчивого состояния, согласно критерию Сильвестера, требуется положительная определенность матрицы $\bar{\mathbf{H}}$, что в свою очередь означает положительность всех миноров $\bar{\mathbf{H}}$. Изменение знака минора равносильно изменению знака элемента матрицы \mathbf{D} в разложении $\mathbf{L}^T \mathbf{D} \mathbf{L}$ матрицы $\bar{\mathbf{H}}$, что легко контролируется в вычислительном алгоритме без дополнительных затрат машинного времени.

После того как найдено значение параметра нагрузки, при котором равновесное состояние неустойчиво, отыскивается форма потери устойчивости оболочки из решения системы $\bar{\mathbf{H}} \delta = 0$. Для этого определяется одна



Р и с. 1



Р и с. 2

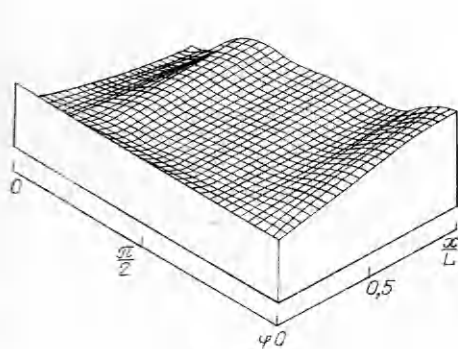
из линейно зависимых строк матрицы \bar{N} , для которой минор становится отрицательным. Эта строка и соответствующий столбец матрицы \bar{N} зачищаются. На место диагонального элемента заносится единица, а в правую часть переносится столбец, умноженный на заданное перемещение. Алгоритм реализован комплексом программ на ЭВМ БЭСМ-6 и позволяет стандартно изучать устойчивость несовершенных оболочек при различных нагрузках и граничных условиях.

5. Пример. Исследована устойчивость шарнирно опертой по торцам несовершенной круговой цилиндрической оболочки при неосесимметричном внешнем давлении, изменяющемся по закону $q = q_0 (1 + \cos \varphi)$, оболочка имела $\bar{L} = L/R = 2$, $R/h = 100$, начальные неправильности $w^0 = (\bar{w} \cos \pi x/L) \cos p\varphi$.

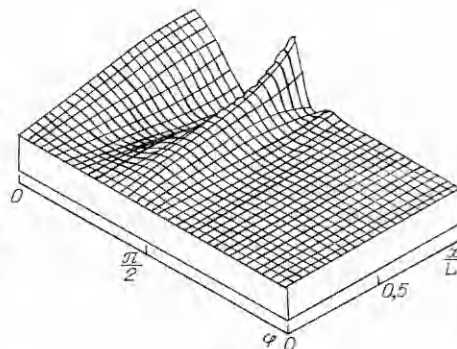
На рис. 1 представлена зависимость безразмерного параметра $k_q = q/q_v$ от $w^* = \bar{w}/h$ для $p = 2$, где q — критическая амплитуда неоднородного давления, q_v — верхнее критическое однородное давление [5]. Сплошные кривые здесь и на других рисунках соответствуют решению при нелинейном исходном напряженно-деформированном состоянии, штриховые — при линейном исходном состоянии. Видно, что с увеличением амплитуды начального прогиба значение k_q падает как для линейного, так и для нелинейного исходного напряженно-деформированного состояния. С ростом w^* влияние нелинейности исходного состояния увеличивается и достигает 20 % при $w^* = 1$.

На рис. 2 показана зависимость k_q от p , характеризующего изменчивость начального прогиба в окружном направлении для $w^* = 0,4$. Качественно решения при линейном и нелинейном исходном напряженно-деформированном состоянии совпадают, т. е. с увеличением p параметр k_q сначала уменьшается, достигая минимума при $p = p^*$ (p^* — параметр волнообразования при однородном внешнем давлении), потом возрастает, наибольшее влияние нелинейности наблюдается при $p = p^*$ и достигает 100 %.

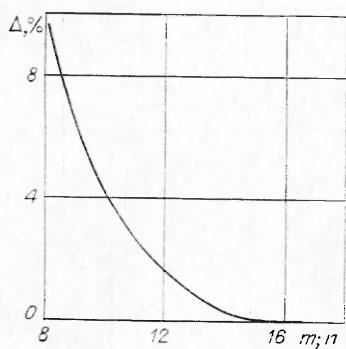
На рис. 3, 4 для $p = 2$, $w^* = 0,4$ приведены форма деформирования оболочки в исходном состоянии и форма потери устойчивости, видно их



Р и с. 3



Р и с. 4



Р и с. 5

несовпадение. Оболочка теряет устойчивость в верхней части с образованием шести ярко выраженных продольных складок. В силу плоскостной симметрии оболочки и нагрузки из оболочки вырезалась четвертая часть, которая в продольном и поперечном направлениях разбивалась на n криволинейных прямоугольных конечных элементов естественной кривизны.

На рис. 5 представлен график сходимости решения (определения критической нагрузки) по числу конечных элементов n . Видна достаточно хорошая сходимость решения. Результаты расчетов сравнивались с решением на сетке 16×16 . Разработанный алгоритм позволяет стандартно исследовать устойчивость оболочек при произвольных нагрузках и начальных прогибах. При этом форма потери устойчивости не связывается с формой начальных прогибов.

Результаты расчетов сравнивались с решением на сетке 16×16 . Разработанный алгоритм позволяет стандартно исследовать устойчивость оболочек при произвольных нагрузках и начальных прогибах. При этом форма потери устойчивости не связывается с формой начальных прогибов.

ЛИТЕРАТУРА

1. Кабанов В. В., Железнов Л. П. К расчету цилиндрической оболочки методом конечных элементов // Прикл. механика. — 1985. — Т. 21, № 9.
2. Кабанов В. В., Железнов Л. П. Исследование нелинейного деформирования и устойчивости цилиндрических оболочек при неосесимметричном внешнем давлении методом конечных элементов // Прикл. механика. — 1981. — Т. 17, № 3.
3. Постнов В. А., Хархурим И. Я. Метод конечных элементов в расчетах судовых конструкций. — Л.: Судостроение, 1974.
4. Райни, Уилкинсон. Справочник алгоритмов на языке Алгол. Линейная алгебра. — М.: Машиностроение, 1976.
5. Григوليц Э. И., Кабанов В. В. Устойчивость оболочек. — М.: Наука, 1978.

г. Новосибирск

Поступила 6/Х 1987 г.,
в окончательном варианте —
16/II 1988 г.

УДК 539.376+539.4

А. Л. Аршакуни

ОБОБЩЕННАЯ КИНЕТИЧЕСКАЯ МОДЕЛЬ ПОЛЗУЧЕСТИ И ДЛИТЕЛЬНОЙ ПРОЧНОСТИ УПРОЧНЯЮЩЕГОСЯ МАТЕРИАЛА

В [1] предложена обобщенная кинетическая модель ползучести и длительной прочности металлов при отсутствии эффекта упрочнения:

$$(1) \quad \begin{aligned} \dot{p} &= Bf(\sigma) \exp(qa), \quad p(0) = 0, \\ \dot{a} &= L\varphi(\tau) \exp(\kappa a), \quad a(0) = a_0, \quad a(t_*) = a_*. \end{aligned}$$

Здесь p — деформация ползучести; σ — напряжение; a — структурный параметр; t_* — время до разрушения; $B, L, q, \kappa, a_0, a_*$ — постоянные материала; $q \geq 0; B \geq 0; L \geq 0$; функции f, φ определены с точностью до постоянного множителя; точка обозначает дифференцирование по времени t ; температура предполагается фиксированной.

Модель (1) — обобщение четырех классических моделей второй и третьей стадии ползучести [1]. Она не описывает стадию упрочнения, которая обычно удовлетворительно соответствует теории упрочнения:

$$(2) \quad \dot{p} = f_1(\sigma)p^{-\lambda}, \quad p(0) = 0$$

(λ — постоянная материала).